

### Висновки

В даній роботі отримано точне рішення задач аналізу та синтезу для кулачкових механізмів з важелем, що качається. Визначено аналітичне представлення контуру кулачка з важелем, що качається.

### ЛІТЕРАТУРА

1. Артоболовский И. И. Теория механизмов и машин:

[Учеб. для вузов. — 4-е изд., перераб. и доп.] — М. : Наука. Гл. ред. физ.-мат. лит., 1988. — 640 с.

2. Александров А. Д., Нецветаев Н. Ю. Геометрия: Учеб. пособие. — М. : Наука, Физматлит., 1990. — 672 с.

3. Лигун А. А., Шумейко А. А. Асимптотические методы восстановления кривых. К. : Издательство института матем. НАН Украины, 1997. — 358 с.

пост.10.06.13

## Метод варьирования узловых параметров финитных функций

*И. А. АСТИОНЕНКО, Е. И. ЛИТВИНЕНКО, А. Н. ХОМЧЕНКО\**

Украина, Херсонский национальный технический университет

\*Украина, Черноморского государственного университета им. П. Могила (г. Николаев)

Показано, как путем варьирования узловых параметров конечных элементов высших порядков устранить физическую неадекватность в спектре узловых нагрузок.

Показано, як шляхом зміни позавузлових параметрів скінченних елементів вищих порядків позбутися фізичної неадекватності у спектрі вузлових навантажень.

It is shown how by means of variation of out-of-node parameters of higher order finite elements to eliminate irregularity in the spectrum of nodal loads.

**Постановка проблемы.** Новая волна повышенного интереса к финитным функциям вызвана появлением и стремительным развитием метода конечных элементов (МКЭ). Финитными называют функции с конечным носителем. Как правило, конечный носитель — это треугольник или прямоугольник (квадрат). А в роли финитных функций чаще всего выступают полиномы, которые, как известно, занимают привилегированное положение в математике и её приложениях. Проще всего построить полином лагранжева типа. Однако на конечных элементах высших порядков наряду с граничными узлами интерполяции приходится использовать внутренние узлы. Так возникают внутренние (дугие) моды. По известным причинам внутренние узлы нежелательны, поэтому в МКЭ появилась процедура исключения внутренних узлов (конденсация, редукция). Опыт предшественников показывает, что даже математически безупречная конденсация не гарантирует физической адекватности интегральных характеристик финитных функций. **Анализ предшествующих публикаций.** Конденсация — взвешенное распределение информации, принадлежащей внутреннему узлу, между гра-

ничными узлами КЭ. Задача сводится к правильному выбору весовых коэффициентов. О неединственности решения этой задачи Галлагер [1] писал еще в 1975 г. Однако не все специалисты отреагировали на замечание Галлагера. Так, в 1977 г. вышла книга Митчелла и Уэйта [2] с примерами неудачного применения конденсации. Похоже,

**Цель работы** — критически проанализировать “рецепты” конденсации (редукции) по Джордану и Сьярле-Равьяру, предложить математически обоснованные и физически адекватные “рецепты”, дать интерпретацию коэффициентов редукции (узловых параметров) в геометрических и физических терминах.

**Основная часть.** На рис. 1 изображены объекты нашего исследования: квадратный элемент 2-го порядка и треугольный элемент 3-го порядка. Это, так называемые, центрированные элементы. Они относятся к элементам лагранжевого типа. Нас интересуют поузловые распределения единичной нагрузки и их модификация как результат исключения внутреннего узла (на квадрате узел 9, на треугольнике -10).

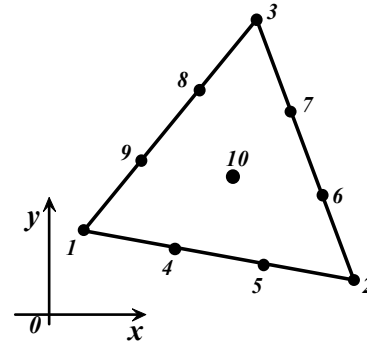
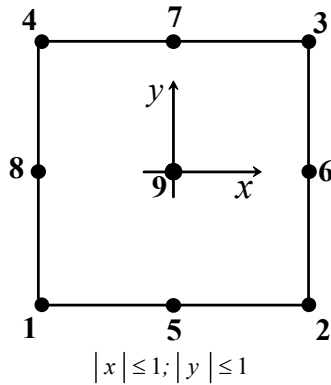


Рис. 1. Конечные элементы лагранжева типа  
По Ньютону-Котесу узловые нагрузки (локализация) определяются по правилу интегрального среднего:

$$\gamma_i = \frac{1}{S} \iint_D N_i(x, y) dS, \quad (1)$$

где  $S$  - площадь области интегрирования  $D$ ;  $i$  - номер узла;  $N_i(x, y)$  финитная функция, отвечающая узлу  $i$ .

Чтобы составить первоначальный спектр узловых нагрузок достаточно на квадрате взять функции  $N_1(x, y)$ ,  $N_5(x, y)$  и  $N_9(x, y)$ , а на треугольнике -  $N_1(x, y)$ ,  $N_4(x, y)$  и  $N_{10}(x, y)$ .

На квадрате имеем:

$$\begin{aligned} N_1(x, y) &= \frac{1}{4}(1-x)(1-y)xy, \\ N_5(x, y) &= \frac{1}{2}(1-x^2)(y-1)y, \\ N_9(x, y) &= (1-x^2)(1-y^2). \end{aligned} \quad (2)$$

Остальные функции базиса биквадратичной интерполяции легко определяются из (2).

На треугольнике имеем:

$$\begin{aligned} N_1(x, y) &= \frac{1}{2} L_1(3L_1 - 1)(3L_1 - 2), \\ N_4(x, y) &= \frac{9}{2} L_1 L_2(3L_1 - 1), \\ N_{10}(x, y) &= 27 L_1 L_2 L_3, \end{aligned} \quad (3)$$

где  $L_i(x, y)$  - барицентрические координаты симплекса ( $i=1,2,3$ ).

Остальные функции базиса треугольника 3-го порядка легко определить из (3).

Узловые нагрузки на квадрате (рис. 1):

$$\gamma_i = \begin{cases} \frac{1}{36}, & i=1, \dots, 4, \\ \frac{4}{36}, & i=5, \dots, 8, \\ \frac{16}{36}, & i=9. \end{cases}$$

Узловые нагрузки на треугольнике (рис. 1):

$$\gamma_i = \begin{cases} \frac{1}{30}, & i=1, 2, 3, \\ \frac{3}{40}, & i=4, \dots, 9, \\ \frac{9}{20}, & i=10. \end{cases}$$

Исключение внутреннего узла выполняется по правилу [2]:

$$\bar{N}_i(x, y) = N_i(x, y) + \alpha_i N_c(x, y), \quad (4)$$

где  $N_c(x, y)$  - функция, отвечающая узлу в центре тяжести элемента. Для квадрата это  $N_9(x, y)$ , для треугольника -  $N_{10}(x, y)$ .

Как видим, результат модификации элемента и спектр узловых нагрузок существенно зависят от  $\alpha_i$ .

Джордан [2] использовал следующую схему для квадрата:

$$\alpha_i = \begin{cases} -\frac{1}{4}, & i=1, \dots, 4, \\ \frac{1}{2}, & i=5, \dots, 8. \end{cases} \quad (5)$$

При этом

$$\gamma_i = \begin{cases} -\frac{1}{12}, & i=1, \dots, 4, \\ \frac{1}{3}, & i=5, \dots, 8. \end{cases} \quad (6)$$

Именно эту модель с отрицательными нагрузками в вершинах квадрата неожиданно нашли подбором Эргатудис, Айронс и Зенкевич в 1968 г., решая задачу изопараметрических преобразований КЭ.

На треугольнике Сьярле и Равьяр использовали следующую схему [2]:

$$\alpha_i = \begin{cases} -\frac{1}{6}, & i=1, 2, 3, \\ \frac{1}{4}, & i=4, \dots, 9. \end{cases} \quad (7)$$

При этом

$$\gamma_i = \begin{cases} -\frac{1}{24}, & i=1, 2, 3, \\ \frac{3}{16}, & i=4, \dots, 9. \end{cases} \quad (8)$$

И снова в вершинах элемента нагрузки отрицательны.

Ниже мы покажем, как этот недостаток устранить. А пока попытаемся найти подходящую интерпретацию для описанных схем конденсации по формуле (4). Качество модификации определяет корректирующая добавка  $\alpha_i N_c(x, y)$ . Поскольку внутренний узел элемента исключается, Зенкевич назвал  $\alpha_i$  узловым параметром элемента. В своей книге [3] Зенкевич замечает, что интерпретировать внутренний параметр трудно, особенно, в физических терминах. Именно поэтому мы начнем с физической интерпретации. Напомним, что конденсация – это сгущение, уплотнение, добавление. Иными словами, нагрузка внутреннего узла распределяется между граничными узлами. Таким образом,

$\alpha_i$  определяет долю нагрузки, которую центральный узел отдаёт граничному узлу  $i$ . Легко заметить, что в схемах (5) и (7) донорами (против обыкновения) являются узлы в вершинах элемента, причем отдают они больше возможного. На элементах более высокого порядка механизм перезагрузки еще сложнее. Неудивительно, что Зенкевич столкнулся с трудностями интерпретации. В самом деле, замысловатые схемы (5) и (7) настолько противостественны, что понять их трудно. Если вместо (5) и (7) рассмотреть физически адекватные схемы (непонятно, что помешало Зенкевичу сделать это в 1968 г.), “негативизм” легко устранить. С геометрической точки зрения внутренний параметр  $\alpha_i$  численно равен аппликату поверхности  $\bar{N}_i(x, y)$  в центре тяжести элемента. Понятно, что, варьируя параметр  $\alpha_i$ , мы управляем интегральной характеристикой  $\gamma_i$ .

Ниже приведены примеры адекватных распределений, полученных путем варьирования неузлового параметра.

Первый вариант, подсказанный интуицией, – это равномерное распределение внутренней доли нагрузки по граничным узлам квадрата:

$$\alpha_i = \frac{1}{8}, \quad i = 1, \dots, 8; \quad \gamma_i = \begin{cases} 1/12, & i = 1, \dots, 4, \\ 1/6, & i = 5, \dots, 8. \end{cases} \quad (9)$$

Модель 4-х сочлененных стержней приводит к такому же распределению.

Если по сравнению с (9) уменьшить нагрузку в вершине квадрата на  $\frac{1}{36}$ , получим следующий вариант:

$$\alpha_i = \begin{cases} 1/16, & i = 1, \dots, 4, \\ 3/36, & i = 5, \dots, 8; \end{cases} \quad \gamma_i = \begin{cases} 2/36, & i = 1, \dots, 4, \\ 7/36, & i = 5, \dots, 8. \end{cases}$$

Теперь увеличим угловую нагрузку (9) на  $\frac{1}{36}$ .

Тогда

$$\alpha_i = \begin{cases} 3/16, & i = 1, \dots, 4, \\ 1/36, & i = 5, \dots, 8; \end{cases} \quad \gamma_i = \begin{cases} 4/36, & i = 1, \dots, 4, \\ 5/36, & i = 5, \dots, 8. \end{cases}$$

Равномерное распределение внутренней доли нагрузки по граничным узлам треугольника выполняется по правилу:

$$\alpha_i = \frac{1}{9}, \quad i = 1, \dots, 9; \quad \gamma_i = \begin{cases} 1/12, & i = 1, 2, 3, \\ 1/8, & i = 4, \dots, 9. \end{cases}$$

Модель 3-х сочлененных стержней приводит к такому распределению.

Приведем еще один вариант физически адекватного поузлового распределения единичной нагрузки в нецентрированном треугольнике:

$$\alpha_i = \begin{cases} 1/18, & i = 1, 2, 3, \\ 5/36, & i = 4, \dots, 9. \end{cases} \quad \gamma_i = \begin{cases} 7/120, & i = 1, 2, 3, \\ 11/80, & i = 4, \dots, 9. \end{cases}$$

Понятно, что формула (4) является генератором множества альтернативных базисов, среди которых легко найти физически адекватные. Заметим, что на 9-узловом треугольнике альтернативные базисы получены впервые. В этой связи открывается интересная воз-

можность сопоставления теоретического спектра узловых нагрузок с эмпирическим спектром, полученным из компьютерных экспериментов со случайными блужданиями и поглощающими граничными узлами. На основании закона больших чисел Я. Бернулли можно предположить, что для частиц, стартующих из центра треугольника, относительная частота поглощений в граничном узле с увеличением числа блуждающих частиц будет стремиться к переходной вероятности из центра в указанный узел. На этом свойстве основаны несеточные схемы одношаговых “блужданий”. Кавычки означают, что вместо многократных многошаговых зигзагоподобных блужданий можно моделировать скачок частицы из центра непосредственно в граничный узел. Так устроены эффективные варианты метода Монте-Карло. Легко заметить, что модели Джордана и Сьярле-Равьяра непригодны для компьютерного тестирования.

### Выводы

Финитные функции с узлами внутри носителя при неудачном исключении внутренних параметров могут стать источником неадекватных поузловых распределений единичной массовой силы. Существует множество способов аккуратного и правильного решения задачи локализации нагрузки. Конструирование моделей серендипова типа (без внутренних узлов) лучше всего начинать именно с задачи локализации нагрузки, соблюдая при этом условия интерполяционной гипотезы Лагранжа на границе носителя.

Метод варьирования внутренних параметров – убедительный пример “мягкого” математического моделирования в духе академика В.И. Арнольда [6]. Представляет интерес применение метода варьируемых неузловых параметров к элементам более высоких порядков.

### ЛИТЕРАТУРА

1. Митчелл Э. Метод конечных элементов для уравнений с частными производными / Э. Митчелл, Р. Уэйт. — М.: Мир, 1981. — 216 с.
2. Галлагер Р. Метод конечных элементов. Основы / Р. Галлагер. — М.: Мир, 1984. — 428 с.
3. Зенкевич О. Метод конечных элементов в технике / О. Зенкевич. — М.: Мир, 1975. — 541 с.
4. Хомченко А. Н. Некоторые вероятностные аспекты МКЭ / А. Н. Хомченко. — Ивано-Франковск, ин-т нефти и газа. — Ивано-Франковск, 1982. — 9 с. — Деп. в ВИНТИ 18.03.82, № 1213.
5. Астионенко И. А. Конструирование многопараметрических полиномов на бикубическом элементе серендипова семейства / И. А. Астионенко, Е. И. Литвиненко, А. Н. Хомченко // Научные ведомости. Серия: математика, физика. — № 5(60). — Вып. 16. — Белгород: БелГУ, 2009. — С. 15—31.
6. Арнольд В. И. “Жесткие” и “мягкие” математические модели. / В.И. Арнольд. — М.: МЦНМО, 2008. — 32 с.